

# **المجهر الإلكتروني الماسح والمجهر الضوئي في الوصف**

## **النسيجي الدقيق لللوز الحنكية في الأغنام (Ovis aries)**

## **والماعز (Capra aegagrus hircus) المحلي البالغ : دراسة مقارنة**

**Scanning Electron Microscope and Light Microscope in  
Histological description of Palatine tonsils in adult domestic  
sheep(*Ovis aries*) and goats(*Capra aegagrus hircus*) :  
a comparative study**

إعداد

**اسماء زياد عبدالجبار غادة عبدالرحمن سلطان**  
**Ghada Abdulrhman Sultan Asmaa Zyad abdaljbar**

قسم التشريح - كلية الطب البيطري - جامعة الموصل - العراق

*Doi: 10.21608/asajs.2024.386884*

استلام البحث : ٢٠٢٤/٧/١٦

قبول النشر : ٢٠٢٤/٨/٢

عبدالجبار، اسماء زياد و سلطان، غادة عبدالرحمن (٢٠٢٤). المجهر الإلكتروني الماسح والمجهر الضوئي في الوصف النسيجي الدقيق لللوز الحنكية في الأغنام (*Ovis aries*) والماعز (*Capra aegagrus hircus*) المحلي البالغ : دراسة مقارنة. **المجلة العربية للعلوم الزراعية**، المؤسسة العربية للتربية والعلوم والأداب، مصر، ٢٤(٧)، ٣٥-٦٠.

<http://asajs.journals.ekb.eg>

## المجهر الإلكتروني الماسح والمجهر الضوئي في الوصف النسيجي الدقيق لللوز الحنكية في الأغنام (*Ovis aries*) والماعز (*Capra aegagrus hircus*) المحلي البالغ : دراسة مقارنة

### المستخلص:

أجريت الدراسة على اللوز الحنكية المأخوذة من ٢٤ رأساً من الأغنام والماعز المحلية البالغة بعمر ٤-٦ شهور، السليمة سريرياً والمذبوحة في المجازر المحلية. تقع اللوزتان الحنكيتان على جنبي جدار البلعوم الجانبي داخل الحفر اللوزية بين القوس الحنكي اللساني والقوس الحنكي البلعمي . درست اللوز الحنكية للأغنام والماعز باستخدام المجهر الإلكتروني الماسح حيث تبين أن السطح المخاطي لهذه اللوز مغلف بنوعين من الظهارة ، ظهارة غير شبكيّة وظهارة شبكيّة حيث لوحظت الأنسجة المفاوية الأساسية حول طويقات متعددة بأشكال وأطوال مختلفة نحو الطبقة البدنية - تحت المخاطية الغنية بنسيج ضام كثيف غير منتظم مكون من ألياف غراوية وشبكيّة ومرنة إضافة إلى الأنسجة الغدية المخاطية وفتحات القنوات الغدية غير المنتظمة مع وجود الأوعية الدموية والأوعية المفاوية . ظهرت اللوزتان الحنكيتان اليمنى واليسرى في الأغنام والماعز تحت المجهر الضوئي مغطاة بظهارة غير شبكيّة مختلفة السمك ، مطبقة حرشفية متقرنة في سطحها المواجه للتجويف الفمي والمحيطة بالنسيج الضام وفادة للقرن في جزئها السفلي المواجه للنسيج المفاوي ، والتي استمرت في بعض أجزاء الطويقات لتتغير بعدها إلى ظهارة شبكيّة او ظهارة لمفاوية مرتبطة بالجريبات المفاوية وقد لوحظ انخفاض كبير في ارتفاعها مع وجود طبقة او طبقتين فقط من الخلايا السليمة المغطاة بصف - صفين من الخلايا الحرشفية . تميزت الصفحة البدنية - تحت المخاطية في اللوزتين الحنكيتين بوجود أنسجة ضامة كثيفة غير منتظمة شملت الياف غراوية ومرنة موزعة باتجاهات مختلفة ، وأنسجة لمفاوية يتم تنظيمها في عقيدات لمفاوية اولية وثانوية متغيرة في اقطارها، فضلاً عن الأنسجة المفاوية الكثيفة المنتشرة ذات الخلايا المفاوية والبلازمية والبلعمية والأوردة البطانية العالية، بالإضافة إلى وجود الأنسجة الغدية ، العضلية، والدهنية.

### Abstract:

The study was conducted on palatine tonsils taken from 24 clinically healthy adult local sheep and goats, 4-6 months old, slaughtered in local abattoirs. The palatine tonsils are situated on either side of the lateral pharyngeal wall, inside the tonsillar fossa between the palatoglossal arch and the palatopharyngeal

arch. The palatine tonsils were studied using a scanning electron microscope in both sheep and goats, where it was found that the mucosal surface of these tonsils was covered by two types of epithelium, non-reticular and reticular epithelium, where the underlying lymphatic tissues around the crypts were distinguished to be extending with various shapes and lengths towards the lamina propria-submucosal layer, which appeared rich in dense irregular connective tissue, composed of collagen, reticular and elastic fibers, with mucous glandular tissues, and openings of irregular glandular ducts, with presence of blood and lymphatic vessels. The right and left palatine tonsils of sheep and goats appeared, under light microscope, covering with non-reticular epithelium of various thickness, , keratinized stratified squamous on its surface opposite the oral cavity and surrounding connective tissue and nonkeratinized from its lower part facing the lymphatic tissue, which continued in some parts of the crypts to change into reticular epithelium or lymphatic epithelium associated with lymphatic follicles, where we noticed a significant decrease in its height, with only one or two layers of healthy cells covered by 1-2 rows of squamous cells. The lamina propria-submucosal layer of palatine tonsils characterized by presence of dense, irregular connective tissue consisting of collagen and elastic fibers with different directions, and lymphatic tissues that organized into primary and secondary lymphoid nodules of varying diameters, further than diffuse dense lymphoid tissue including, lymphocytes, plasma cells, macrophages, and high endothelial veins, in addition to presence of the glandular, muscular, and adipose tissues.

#### المقدمة:

تربية الأغنام والماعز أساساً لإنتاج اللحوم والصوف والشعر والحليب والجلود بالإضافة إلى استعمال فضلاتها في إنتاج السماد، وفي العراق منذ آلاف

السنين تربى الأغنام والماعز في منطقة وادي الرافدين التي كانت مهد الحضارات حيث ازدهرت فيها منذ القدم الزراعة وتربية الحيوانات (Al-Kass *et al.*, 1993). يتكون الجهاز المفاوي من الأعضاء المفاوية ، الخلايا المفاوية والأوعية المفاوية : الأعضاء المفاوية يمكن تقسيمها إلى قسمين : الأعضاء المفاوية الأولية وتسمي أيضاً الأعضاء المفاوية المركزية وتشمل نخاع العظم Bone marrow ، العقد المفاوية Lymph nodes ، الغدة الصعترية Thymus ، الطحال Spleen ، أما الأعضاء المفاوية الثانوية تسمى أيضاً الأعضاء المفاوية المحيطية وتشمل الأنسجة المفاوية المرتبطة بالغشاء المخاطي Mucosa associated lymphatic tissue (MALT)، ومنها اللوز Tonsils وهي ستة أنواع : اللوز اللسانية Lingual, اللوز الحنكية Palatine ولوزة الحنك الرخو Soft palet جميعها تقع في البلعوم الفموي، اللوزة البلعومية Pharangeal والأنبوبية Tubular تقع في البلعوم الأنفي، واللوز المجاورة للسان المزمار Paraepiglotes في البلعوم الحنجري، تشكل جميع اللوز معاً حلقة من الأنسجة المفاوية في جدار البلعوم، تسمى "حلقة والديرز" waldeyer's ring (Tenori and Pabst, 2006; Casteleyn *et al.*, 2011; Fossum *et al.*, 2017; Arambula *et al.*, 2021).

تحتوي معظم الأعضاء المفاوية على عقيدات لمفاوية وأنسجة المفاوية المنتشرة وتلعب دوراً مهماً في توفير موقع لخلايا المفاوية للتلامس مع المستضدات، لتعزيز انتشار ونضج الخلايا المفاوية (Breugelmans *et al.*, 2011).

الخلايا المفاوية يمكن تصنيفها إلى ثلاثة أنواع رئيسية على أساس وظائفها المناعية إلى الخلايا المفاوية التائية (T- lymphocytes) والتي تشارك في الاستجابة المناعية الخلوية (Dono *et al.*, 1996)، الخلايا المفاوية البائية -B- (lymphocytes) وهذه بدورها تشارك في الاستجابة المناعية الخلطية (Graeme *et al.*, 1993)، والنوع الثالث هي الخلايا الفارغة (Null cells).

الأوعية المفاوية التي رافقت اللوز الحنكية هي الاوعية الحول اللوزية Peritonsillar lymphatic vessels وهذه الاوعية تنقل اللمف إلى العقد المفاوية المنتشرة حول اللوز (Besoluk *et al.*, 2006).

اللوزتان الحنكيتان هما تراكيب لمفاوية ظهارية تقع عند تقاطع البلعوم الانفي والبلعوم الفموي ، وتنظر هذه التراكيب معرضة بشكل دائم لكل من المستضدات المستشقة والمبتلة (Timoney and Kumar, 2008). حيث تمتلك وظائف مزدوجة في كل من المناعة الخلوية والخلطية ، فتكاثر الخلايا المفاوية البائية والتائية

وتمايزها وتحفيزها هي من الوظائف الرئيسية للوزتين الحنكيتين (Zautner, 2012).

تهدف الدراسة الحالية إلى وصف التركيب الفوقي والتنظيم النسيجي للوزتين الحنكيتين ومقارنتها بين الأغنام والماعز المحلي البالغ ، حيث أن البيانات القياسية الدقيقة غير موجودة تماماً وأن هناك حاجة لتوفير معلومات كاملة وتوسيع المعرفة العلمية والسريرية عن نوع البطانة الظهارية وطبيعة النسيج اللمفاوي داخل اللوزة بالإضافة إلى وجود مجموعات مختلفة من الخلايا اللمفاوية لا تزال دون تفسير وهذا يلعب دوراً في فهم الوظيفة المناعية وتشخيص الامراض البكتيرية والأورام السرطانية.

#### **المواد وطرائق العمل**

#### **الحيوانات (عينات الدراسة):**

تم جمع اللوزتين الحنكيتين(اليمني واليسرى) من ٤٢ رأساً من الأغنام والماعز السليمة سريرياً ومن سلالة محلية للفترة من ٢٠٢٣ تشرين الثاني ولغاية ٢٠٢٤ كانون الثاني ، بالغة بعمر ٩-٦ أشهر) وتراوحت أوزانهم من ٤٠ إلى ٦٠ كغم ، تم شراؤها من مجررة الموصل بعد ذبحها للاستهلاك البشري، حيث تم اخذ الرأس بعد غسله بالماء مباشرة وفتح الفك السفلي للوصول الى اللوز الحنكة . تم تقسيم الحيوانات كالتالي , ١٢ رأساً من الأغنام و ١٢ من الممازع ، (٧) رؤوس من الأغنام وعدد مماثل من الممازع للدراسة النسيجية ، اما لدراسة المجهر الإلكتروني الماسح استخدمت (٥) رؤوس من الأغنام و (٥) من الممازع.

#### **دراسة المجهر الإلكتروني الماسح :Scanning Electron study**

تم جمع العينات بعد الذبح مباشرة (اللوز الحنكة اليمنى واليسرى ) وتنبیتها في ٢,٥ مل من محلول كلوتارالدهید Glutaraldehyde (الاس الهيدروجيني ٧,٤) مع ٢,٥ مل من الفورمالين ١٠٪ لمدة ٨-٦ ساعات للتمیز بشكل أفضل بين الأنسجة الضامة والمكونات الخلوية ، بعدها تم استخدام رابع أوكسید الأوزمیوم Osmium tetroxide بعد الغسيل الشامل في محلول فوسفات متعادل Buffer phosphate ٢٥ مل ذات (الاس الهيدروجيني ٧,٤) ثم إعادة غسل الأنسجة مرتين باستخدام محلول فوسفات متعادل ٢٥ مل ، وتم تنفيذ بقیت الاجراءات في كلية العلوم جامعة الكوفة حيث جفت الأنسجة باستخدام درجات تصاعدية من الكحول الاثيلي ٣٠٪ ٣ تمريرات كل تمريرة ٥ دقائق، ثم يصفى الكحول ويضاف الفوسفات المتعادل بعدها الاستمرار ٥٪ كحول ٣ تمريرات كل تمريرة ٥ دقائق ، ثم سلسلة تمريرات من الكحول الاثيلي ،٪٧٥ ،٪٩٠ ،٪١٠٠ لسحب محلول الأوزمیوم ،

وتجفف العينات عند النقطة الحرجة، وتثبت في أنابيب ، ثم تم طلاءها بالرش او نثر الذهب ، اخيرا فحص الأنسجة باستخدام المجهر الإلكتروني الماسح - AL- hashemi, 2019)

### الدراسة النسيجية : Histological study

تم جمع العينات من اللوز الحنكية (اليمني واليسرى) وتقطيعها الى أجزاء ببعد مناسبة تقريبا ١ سنتيمتر ووضعها في أنابيب اسطوانية سعة ٥٠ مل ، ثبتت العينات في محلول الفورمالين المتعادل Buffered Neutral Formalin Solution في درجة حرارة الغرفة لمدة ٧٢ ساعة بعدها عمليات العينات بـ (أثيلي ) Ethyle alcohol متضاد التركيز لغرض الانكماز Dehydration ابتداء من تركيز ٧٠ % لـ ٢٤ ساعة ثم تركيز ٩٠ % بـ ٣ ساعات ثم تركيز ١٠٠ % ايضا بـ ٣ ساعات لكل تمريرة . استخدمت مادة الزايلين بمعدل تمريرتين كل تمريرة ٥ دقائق لغرض الترويق Clearing .

(Culling et al., 1985) ثم مررت العينات في شمع البرافين النقي ذي درجة الانصهار ٥٨-٦٠ م° تم تمريرتين وخصصت ساعة واحدة لكل تمريرة داخل فرن كهربائي بدرجة حرارة ٦٠ م° . ثم صبت العينات في قوالب شمعية معلمة بصورة واضحة (Luna, 1968 ; Culling et al .., 1985; Suvarna., 2019). قطعت النماذج باستعمال جهاز المشراح الدوار Rotary microtome للحصول على شرائح نسيجية بسمك ٧-٥ ميكروميترا وثبتت على شرائح زجاجية بوساطة طبقة خفيفة من زلال البيض Egg albumin أو ما يسمى لاصق ماير . (Luna, 1968) استعملت الملونات Mayer's adhesive stains النسيجية الآتية لبيان التراكيب النسيجية المختلفة :

- ١- ملون هارس هيماتوكسيلين وايوسين Harris Hematoxylin and Eosin لمعرفة البنية النسيجية العام لللوز بنوعيها وتمهيدا لأخذ القياسات المجهرية .
- ٢- ملون ماسون ثلاثي الصبغ Masson's Trichrome stain للتفریق بين الاياف الغرائية والاياف العضلية .
- ٣- ملون فان كيزون Van Gieson stain للتفریق بين الاياف الغرائية والاياف المطاطة والعضلية المنتشرة ضمن متن اللوز في الاغنام والماعز المحليين (Bancroft and Gamble, 2008) تم قياس كل من المتغيرات الآتية ولكلتا اللوزتين الحنكية اليمنى واليسرى ولجميع العينات المدروسة :

- سمك الظهارة الحرشفية المطبقة المتقرنة Keratinized stratified squamous epithelium (الغير شبكي Non reticular epithelium) في اللوزة الحنكية اليمنى واليسرى للاغنام والماعز المحلين .
- سمك الظهارة الشبكية Reticular epithelium في اللوز الحنكية اليمنى واليسرى للاغنام والماعز المحلين .
- اقطار الجريبات المفاوية الابتدائية والثانوية Primarey and Secondary lymphoid follicles .
- عمق الطويق Crypt في اللوز الحنكية اليمنى واليسرى وملاحظة الفرق بين الاغنام والماعز .

#### **التصوير الضوئي المجهي :Microphotography**

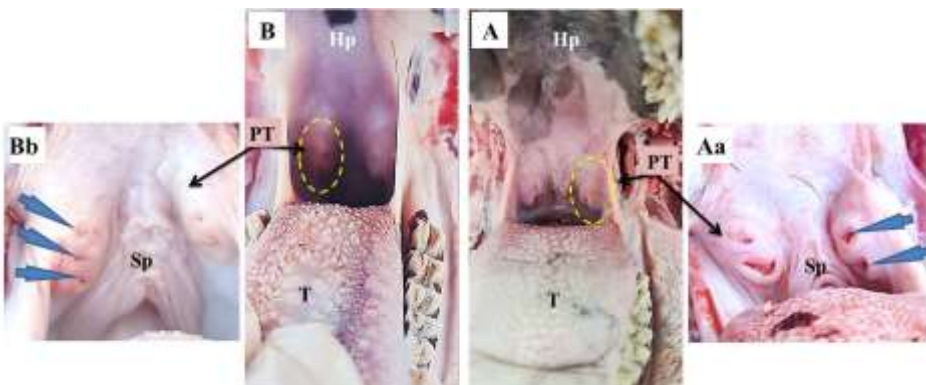
صورت المقاطع النسيجية بإستعمال كاميرا رقمية للتصوير نوع AmScope camera مزودة ببرنامج تحليل الصور حيث تمت معايير الكاميرا المجهرية على عدسات المجهر الضوئي AmScope microscope الشبيهة الاربعة بالاستعانة بمسطرة منصة المجهر Stage micrometer وأخذت القياسات باستخدام وحدة القياس الميكرومتر .

#### **التحليل الاحصائي : Statistical analysis**

حللت البيانات الخاصة بالدراسة باستخدام برنامج IBM Spss (V27,USA) اختبار T-TEST تم التعبير عن جميع البيانات المشاركة في الدراسة على أنها المتوسط و الخطأ المعياري ( $SE \pm M$ ) لتحديد الاختلافات الاحصائية بين متغيرات اللوز ومقارنتها بين الاغنام والماعز المحلين ودرست الاختلافات المعنوية في جميع الاختبارات عند مستوى معنوية  $P \leq 0.05$  (Petrie and Watson, 2013)

#### **النتائج والمناقشة**

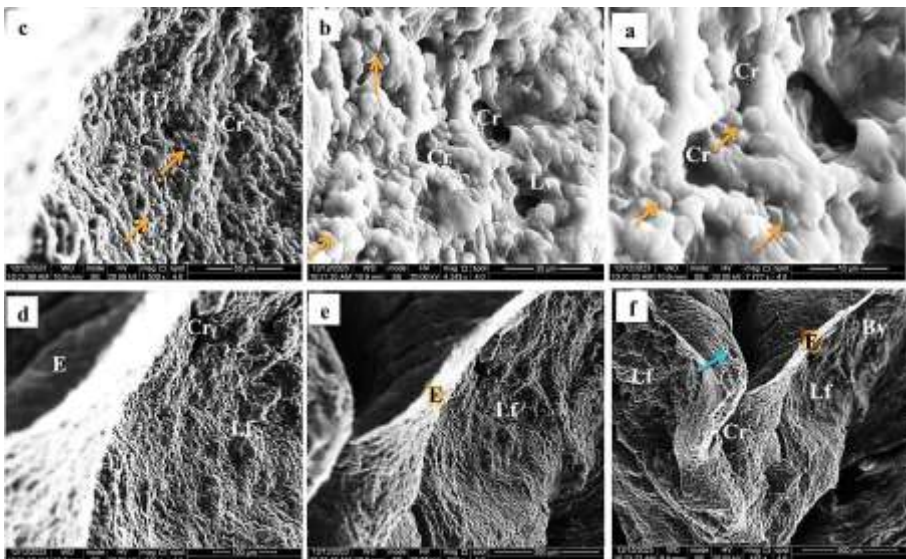
بيّنت نتائج الدراسة الحالية ان اللوزتين الحنكيتين Palatine tonsils (اليمنى واليسرى) في الاغنام والماعز المحلين داخل الحفر اللوزية على جانبي جدار البلعوم الجانبي بين القوس الحنكي اللساني palatolinguinal arch والقوس الحنكي البلعومي palatopharyngeal arch متوجه اماميا في الاغنام مقارنة بالماعز وشكلت ارتفاعاً في الغشاء المخاطي البلعومي (الشكل ١). وهذا يتفق مع ما ذكره (Cocquyt et al.,2005) في دراستهم لأنواع اللوز الموجودة في التجويف الفمي للأغنام .



شكل (١) صورة عيائية توضح موقع اللوز الحنكية في الاغنام Aa,A,Bb,B حيث يشير السهم الاسود الى اللوز الحنكية PT ، الحنك الصلب HP ، الحنك اللين SP ويشير راس السهم الازرق الى فتحات الجيوب اللوزية

#### المجهر الإلكتروني الماسح :Scanning Electron Microscope

بيّنت نتائج الدراسة باستخدام المجهر الإلكتروني الماسح ان سطح اللوز الحنكية في الاغنام والماعز المحلي مغطاة بظهارة حرشفية تمتد الى متن اللوزة لتكوين طويقات بأشكال واحجام واتجاهات مختلفة ، يتخلل هذه الطويقات جريبات لمفاوية مكتظة بالخلايا المفاوية التي ظهرت مرتبة الواحدة تلو الاخرة حيث تشبه فاكهة التوت مع انتشار الاوعية الدموية والاواعية المفاوية بالإضافة الى وجود فتحات صغيرة تشبه الزر هي قنوات الغدد الافرازية التي وجدت تحت وضمن طبقات الخلايا الظهارية. (الشكل ٢ ) وهذا يتفق مع (Palmer *et al* .,2009) في دراستهم النسيجية والمناعية والتركيب الفوقي لللوزة الحنكية في الابقار و (Casteleyn *et al* .,2010) في دراستهم باستخدام المجهر الإلكتروني الماسح لظهور اللوز الحنكية في الاغنام ، وفي الماعز (Mahdy *et al* .,2023) ولاحظ العالمان (Kumar and Timoney, 2006) وجود تقوب او خبايا صغيرة موزعة بشكل غير منظم ذات فتحات بيضاوية أو مستطيلة على الظهارة المغلفة للوزة الحنكية في الحصان.



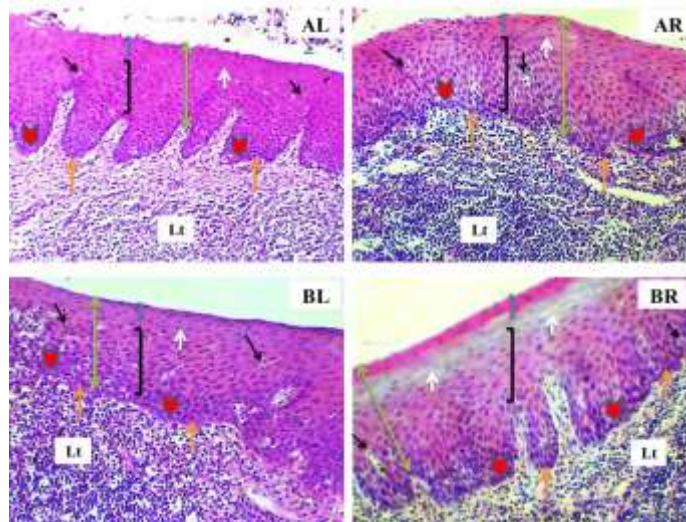
شكل (٢) صورة باستخدام المجهر الالكتروني الماسح للوزة الحنكية اليسرى في الاغنام (a,b,c,d,e,f) تبين الجريبات المفاوية Lf, الظهارة الغير الشبكية E و الطويق Cr, الخلايا المفاوية (السهم البرتقالى), الاوعية الدموية Bv، الاروعية المفاوية Lv ، قنوات الوحدات الافرازية (السهم الازرق ) Bar = a: 10, b: 20, c: 50, d: 100, e: 300, and f: 500 $\mu$ m.

### المجهر الضوئي Light Microscope

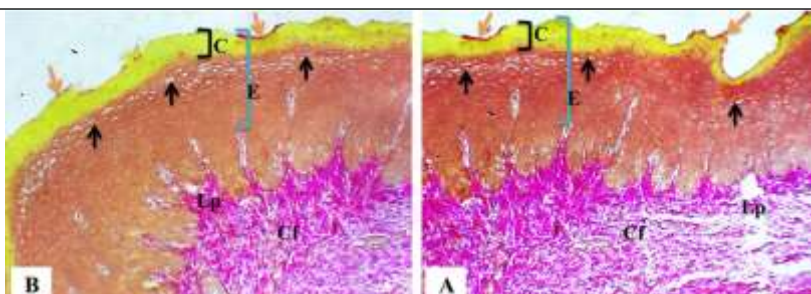
بينت نتائج الدراسة النسيجية باستخدام المجهر الضوئي ان اللوزتين الحنكيتين اليمنى واليسرى مغلفين بظهارة حرشفية مطبقة Stratified squamous epithelium في الاغنام والماعز المحلي البالغ متواصلة مع الغشاء المخاطي للبلعوم . وهذا يتفق مع ما ذكره في الحيوانات الآلية Dellmann and Indo et al.,2018 (Eurell,1998) في دراستهم لمقاطع النسيجية الخاصة باللوز الحنكي في الماعز ، وفي الكلاب (Belz and Heath, 1995) (Cocquyt et al., 2005 ; Raju et al., 2001) (Velinova et al., 2001) في الابقار و (Velanova et al., 2001) في دراستهم للوز الحنكي في الاغنام.

تكونت الظهارة الحرشفية المطبقة من ١٤-١٢ طبقة خلوية وهي الطبقة القاعدية المكونة من صف واحد من خلايا مكعبية ، ذات نواة بيضاوية قاعدية وسايتوبلازم قاعدي مستندة على غشاء قاعدي متكمال ومتعرج مشكلا بروزات غير منتظمة تشبه الإصبع باتجاه الصفيحة اللبادية تحت المخاطية تسمى الأوتاد الحليمية التي تخللها النسيج الضام ، تلي الطبقة القاعدية الطبقة الشوكية التي تراوح عددها صنوف الخلايا فيها بين ثمانية إلى عشرة صنوف تتكون من خلايا متعددة السطوح غير منتظمة مع نوى قاعدية ذات أشكال مختلفة في حين تكونت الطبقة الحبيبية من خلايا تحتوي على نوى أصغر نسبياً ولكن ذات نهايات مستدقة استمر حجم وعدد النوى في التناقص نحو الطبقة السطحية التي تكونت من خلايا حرشفية ذات نواة مركبة (الشكل ٣) . اتفقت هذه الملاحظات مع النتائج التي توصل إليها (Casteleyn *et al.*, 2007) (Kumar and Kumar, 2005) في الماعز و (Achaaban *et al.*, 2011) في الأغنام .

اختلفت درجة تقرن الظهارة باختلاف موقعها حيث فقدت التقرن في مناطق تواجدها حول النسيج اللمفاوي بينما ظهرت الطبقة المتقرنة للظهارة واضحة في الأجزاء المواجهة للتجويف الفمي والمحيطة بالنسيج الضام كون هذه المناطق أكثر عرضة لمواجهة المواد الداخلة إلى التجويف الفمي (الشكل ٤) . وهذا لا يتوافق مع ما ذكره (Yang *et al.*, 2011; Kumar *et al.*, 2006; Kumar *et al.*, 2008) في الماعز والأغنام على التوالي وكما هو مذكور في الجمل (Achaaban *et al.*, 2016) حيث الظهارة تكون متقرنة في أغلب أجزاءها .



شكل (٣) صورة مجهرية للوزة الحنكية اليمنى واليسرى في الأغنام (AL,AR) و اليمنى واليسرى في الماعز (BL,BR) توضح ، سمك الظهارة الغير شبكيه (السهم ذو الرأسين الاخضر) ، الغشاء القاعدي (السهم البرتقالي) ، الطبقة القاعدية (رأس السهم الاحمر)، الطبقة الشوكية (القوس المربع الاسود)، الطبقة الحبيبية (السهم الابيض) ، الطبقة السطحية (القوس المربع الأزرق ) ، السهم الاسود، الخلايا المفاوية الظهارية (السهم الاسود) ، التنسج المفاوية Lt ، هيماتوكسيلين وايوسين 100X



شكل (٤) صورة مجهرية للوزة الحنكية اليمنى في الأغنام A وفي الماعز B ، تبين الظهارة الغير شبكيه (E) القوس المربع الأزرق) ، الطبقة السطحية (القوس المربع الأسود) ، الطبقة الحبيبية (السهم الأسود) ، الطبقة المتقرنة (السهم البرتقالي) ، الصفيحة البدائية تحت المخاطية Lp ، الالياف الغراوية Cf ، ملون فان كيزون ، 100X

باستخدام القياس المجهري تبين سمك الظهارة الحرشفية المطبقة ضمن النوع الواحد وبين النوعين (الاغنام والماعز) حيث سمك الظهارة في اللوزة اليمنى أعلى من سمكها في اللوزة اليسرى وفي كلا النوعين كما ظهر السمك لنفس الظهارة عالياً في الاغنام مقارنة بالماعز المحلي البالغ جدول (١). وهذا يتوافق مع (Raju *et al.*, 2012) في دراسته لللوز الحنكية في الأغنام .

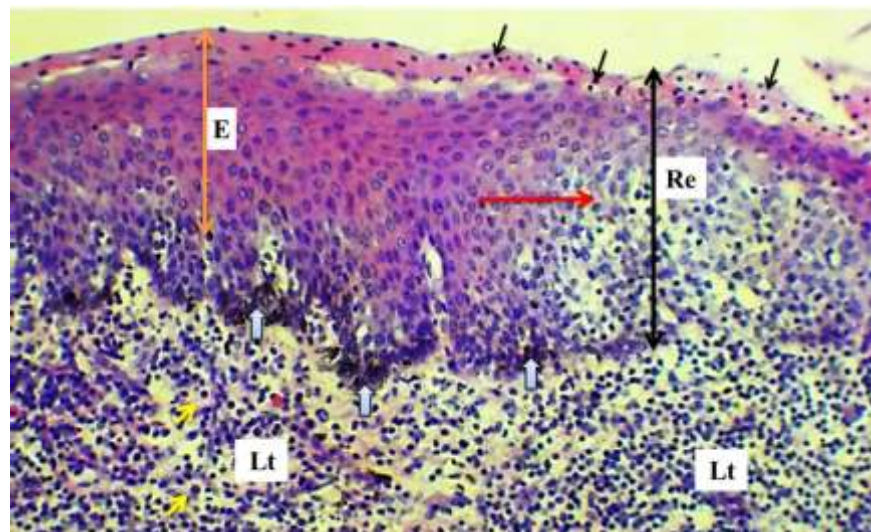
**جدول رقم (١)** يبين سمك الظهارة الحرشفية المطبقة، سمك الظهارة المفاوية الشبكية، اقطار الجريبات الابتدائية والثانوية وعمق الطويق لللوز الحنكية في الاغنام والماعز المحلي باستخدام وحدة القياس المايكرومتر ( $\mu\text{m}$ )

المعنوية P- value	قيمة t	لوزة حنكية بسرى SEM±M		لوزة حنكية يمنى SEM±M		المعنوية P- value	قيمة t	لوزة حنكية بسرى SEM±M		المعنوية P- value	قيمة t	العنصر البلس ( $\mu\text{m}$ )
		ماعز	الاغنام	ماعز	الاغنام			ماعز	الاغنام			
0.00	7.79	1.73±108.93	*1.76±130.96		0.00	15.32	1.22±110.12	*2.45±140.19				سمك الظهارة الحرشفية المطبقة
0.00	73.16	*2.43±110.48	1.46±72.22		0.00	87.44	*2.22±107.28	1.29±72.31				سمك الظهارة المطرية الشبكية
0.00	15.11	5.01±390.2	*3.71±509.4	0.00	40.26	2.25±400.8	*6.09±575.9					أقطار الجريبات الابتدائية
0.00	13.49	1.94±238.8	*2.93±279.7		0.00	7.87	3.96±240.9	*2.76±284.4				أقطار الجريبات الثانوية
0.00	29.34	33.86±2385.50	*628.78±2825.21	0.00	8.95	29.50±2412.40	*109.71±3468.30					عمق الطويق

**SEM±M** : المتوسط والخطأ المعياري

\*: تدل على وجود فرق معنوي دال احصائياً بين كلا النوعين (الصف الواحد) لكل متغير

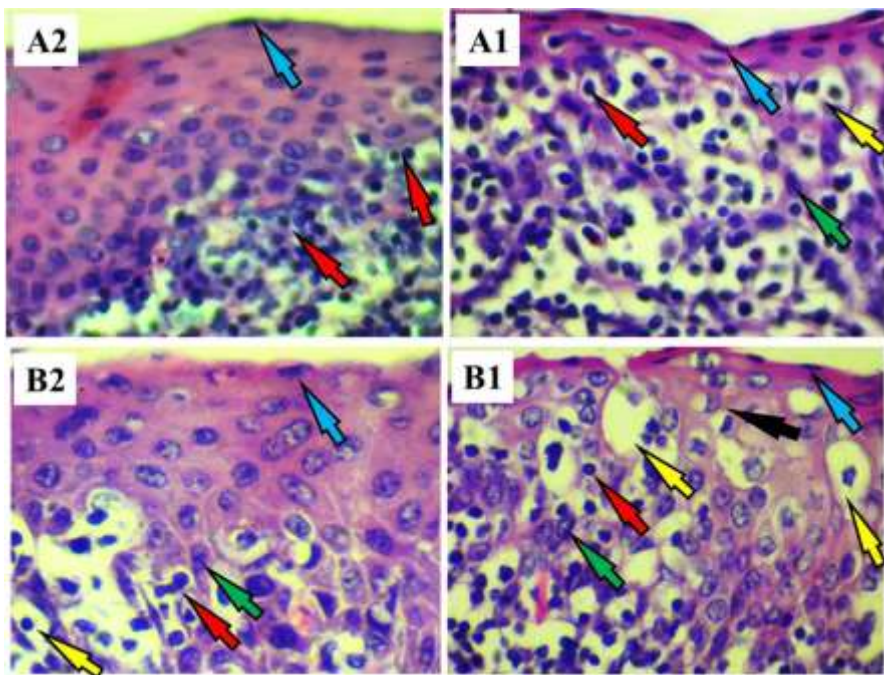
لوحظ في الدراسة الحالية تغير الظهارة الحرشفية المطبقة المنتظمة في طبقاتها وفي كلا اللوزتين للأغنام والماعز بشكل غير منتظم إلى ظهارة لمفاوية او شبكيّة Reticular epithelium غير منتظمة نتيجة العزو المستمر من الخلايا المفاوية ، رافقت هذه الظهارة الطويقات الممتدة ضمن مناطق تواجد الجريبات المفاوية (الشكل ٥) كما ورد ذلك في لوز الحصان (Kumar and Timoney, 2005a) وفي لوز الماعز (Kumar and Kumar, 2005a).



شكل (٥) صورة مجهرية للوزة الحنمية اليمني في الاغنام ، تشير الى سمك الظهارة الشبكية ( السهم ذو الرأسين الأسود )، الظهارة الغير الشبكية (السهم ذو الرأسين البرتقالي ) ، الى السهم الأحمر، الخلايا المفاوية الظهاريه (السهم الأسود) الطبقة الحبيبية ،، الغشاء القاعدي (السهم المنتفخ الازرق ) ، النسيج المفاويي Lt ، الخلايا المفاوية تحت مخاطية (السهم الأصفر ) ، هيماتوكسلين وايوسين ، 100X

بينت نتائج الدراسة الحالية ان الظهارة الشبكية مكونة من شبكة من الخلايا المفاوية المستندة على غشاء قاعدي غير متكامل ليسمح بمرور المستضدات الى المناطق العميقه للوصول الى الخلايا المفاوية وهذا يتافق مع (Kumar et al. 2008) في دراسته للوز في الاغنام .

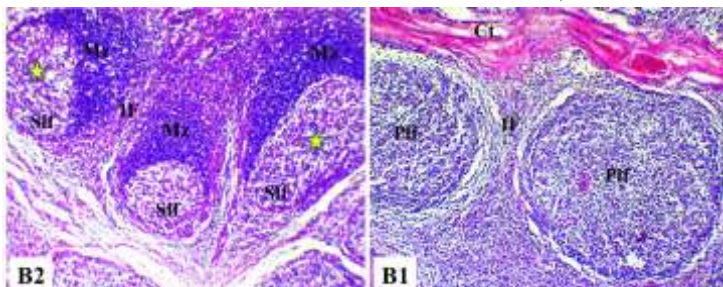
الظهارة المفاوية تم اخترافها بواسطه الخلايا الشبكية،الخلايا البلازمية ، العدلات وعدد من الخلايا المناعية التي تسمى M-cells المسؤولة عن نقل المستضدات من تجويف اللوز الى الجهاز المناعي ومن الاعلى غلفت طبقات الظهارة الشبكية بصف الى عدة صفوف من خلايا حرشفية وهذا يتفق مع (Perry and Whyte 1998) في دراسته المناعية للوز (الشكل ٦).



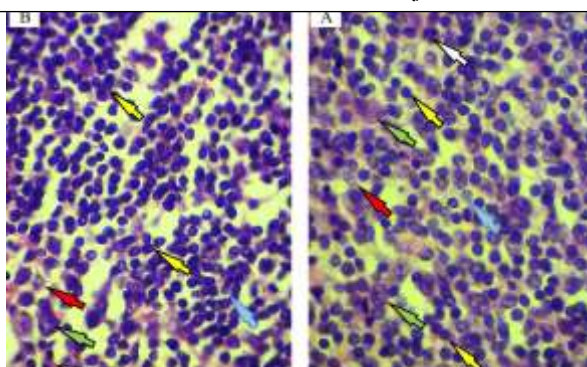
شكل (٦) صورة مجهرية للوزة الحنكية اليمنى في الاغنام A1 واليسرى A2 ، وفي الماعز اليمنى B1 واليسرى B2 ، تبين خلايا M-cells (السهم الاصفر ) ، الخلايا المفاوية الظهارية (السهم الاحمر ) ، الخلايا الحرشفية السطحية (السهم الازرق)، الخلايا البلازمية (السهم الاسود) والخلايا الشبكية (السهم الاخضر) ، هيماتوكسيلين وايوسين ، 400X

لم تظهر فروقات معنوية في سمك هذه الظهارة ضمن النوع الواحد من حيوانات الدراسة الا انه ظهر فرق معنوي واضح في سmekها بين الاغنام والماعز المحلي البالغ فظهرت في الماعز اعلى سماكة من الاغنام جدول (١) .  
بينت نتائج الدراسة ان الطبقة تحت المخاطية تتشكل من نسيجا لمفاويا منتشراما باتجاه الجزء الأعمق من الطوبيقات الممتدة بأشكال واحجام مختلفة بالإضافة الى تواجد الجريبات المفاوية الاولية والثانوية Primary and secondary lymphoid follicles اللوزتين اليمنى واليسرى وفي كلا النوعين قاعدية الصبغة وبشدة بسبب وجود خلايا مفاوية صغيرة وخلالية من المركز الجرثومي Germinal center بينما تقع

الجريبيات المفاوية الثانوية حول طويقات كما ظهرت الأخيرة محاطة من احدى جوانبها بوشاح غامق يسمى النطاق الحافي Marginal zone الموجه دائمًا نحو الخبايا ، ظهر متسعا وبلون داكن في الماعز مقارنة بالاغنام وكان مكتظا بالخلايا المفاوية الصغيرة التي تواجدت ايضا ضمن الجريب المفاوي ( الشكل ٧ ) بالإضافة الى العديد من البلاعم ، الخلايا الشبكية ، الخلايا البلازمية والخلايا المفاوية البنية Lymphoblast ( الشكل ٨ ) ولوحظت نفس السمات ايضاً في الماعز ( Kumar et al., 2006 ) والاغنام ( Kumar et al., 2008 ).

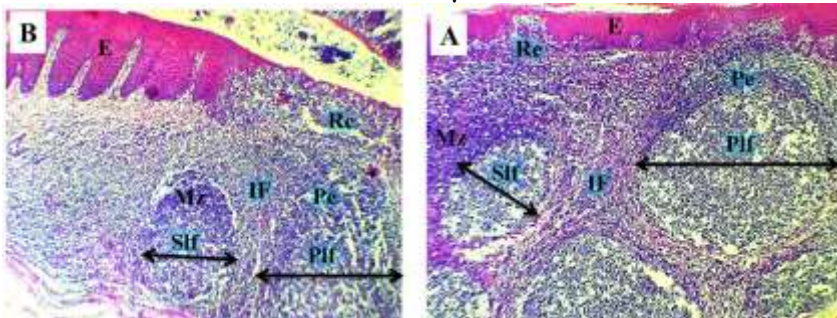


شكل(٧) صورة نسيجية لللوزة الحنكية اليمنى B1 واليسرى B2 في الماعز ، توضح الجريبات المفاوية الأولية Plf، نسيج بين الجريبات IF ، النسيج الضام Ct ، الجريبات المفاوية الثانوية Slf ، النطاق الحافي Mz ، وتشير النجمة الصفراء الى المركز الجرثومي ، هيماتوكسيلين وايوسين ، 40X



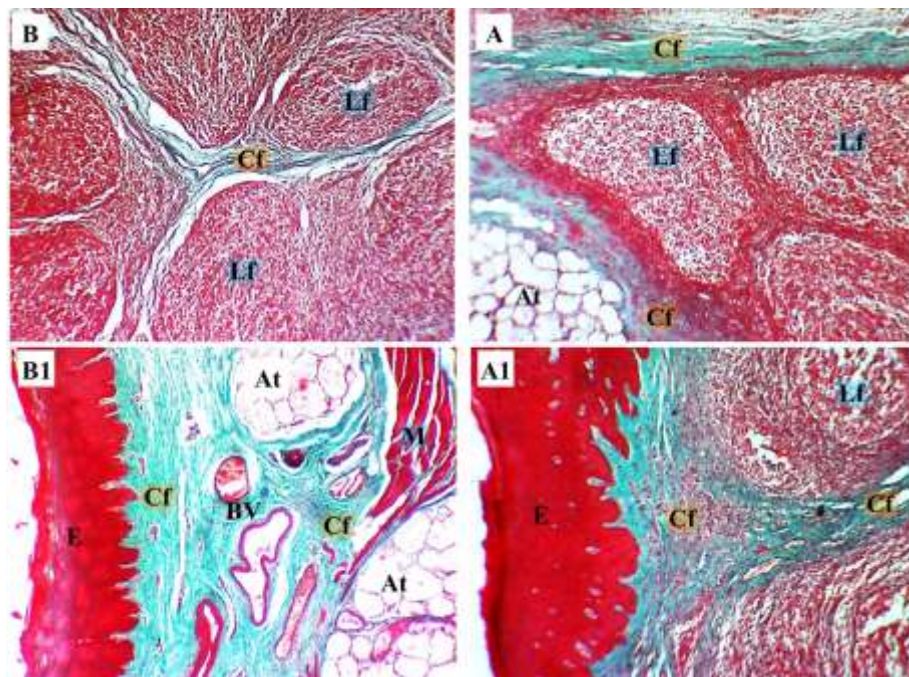
شكل(٨) صورة نسيجية للنسيج المفاوي في اللوزة الحنكية اليمنى في الأغنام A وفي الماعز B ، تبين الخلايا المفاوية (السهم الاصفر) ، الخلايا البلعومية (السهم الاخضر) ، الخلايا المفاوية البنية (السهم الازرق) ، الخلايا الشبكية (السهم الاحمر) . الخلية البلازمية (السهم الأبيض) .

بيّنت نتائج الدراسة وجود اختلاف في اقطار الجريبات الاولية والثانوية بين اللوزة الحنكية اليمنى واليسرى وفي كل من الاغنام والماعز (شكل ٩) و(جدول ١) هذا يتحقق مع ما تم إجراءه على الحصان (Kumar and Timoney, 2005a) والماعز (Kumar et al., 2008) والاغنام (Kumar et al., 2006) وكان متوسط قطر العقائد المفاوئية  $6.88 \pm 684.17 \mu\text{m}$ .



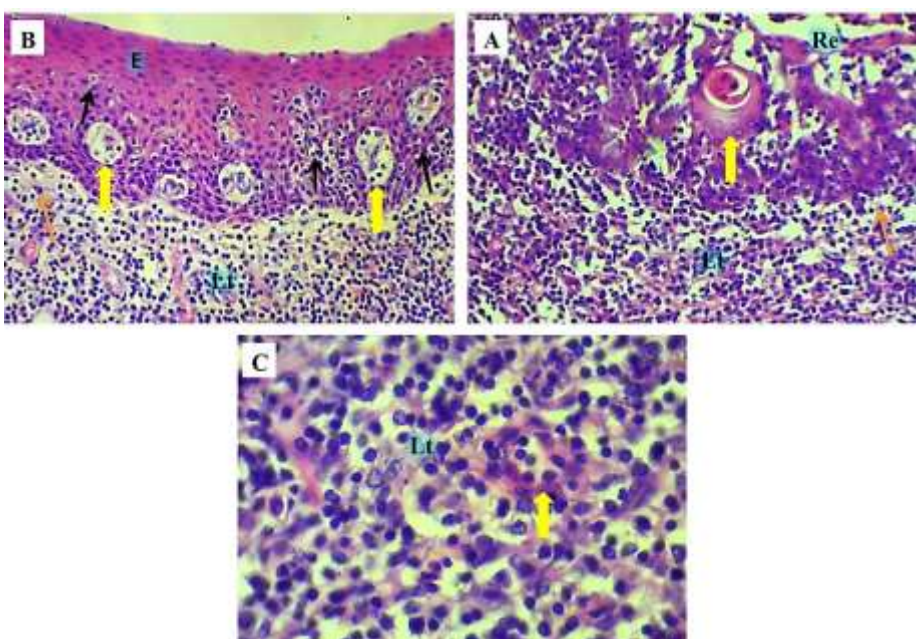
شكل (٩) صورة نسيجية للوزة الحنكية اليمنى في الأغنام A واليسرى في الماعز B ، تبين الظهارة غير الشبكية E ، الظهارة الشبكية Re ، النسيج المفاوي حول الجريبات Pe ، النسيج المفاوي بين الجريبات IF ، النطاق الحافي Mz ، قطر الجريب المفاوي الاولى Plf ، قطر الجريب المفاوي الثاني Slf ، هيماتوكسيلين وايوسين ، ٤٠٠ X

اختلفت الطويقات Crypt في مقدار امتدادها داخل متن اللوزة حيث ظهرت بعمق كبير في لوز الاغنام مقارنة بالماعز (جدول ١) هذه الطويقات قسمت اللوز إلى عدة فصوص كل فص محااط بمحفظة من النسيج الضام المكون من ألياف غراوية كثيفة في الأغنام مقارنة بالماعز وهذا كان واضحا باستخدام ملون ماسون ثلاثي الصبغ حيث امتدت الالياف الغراوية حول وبين الجريبات المفاوية بالإضافة إلى امتدادها تحت الظهارة وحول الاوعية الدموية (شكل ١٠). وهذا يتحقق مع دراسة الباحثين (Zidan and Pabst, 2011) للوزة الحنكية في الجاموس ومع دراسة (Casteleyn et al., 2007) وجماعته في وصفهم النسيجي لأنواع من اللوز في الاغنام حيث بين ان اللوزة الحنكية تمت تغطيتها بظهارة حرشفية طبقية، والتي شكلت ٣-١ خبايا قسمت اللوزة إلى فصوص محااطة بكبسولة من النسيج الضام .



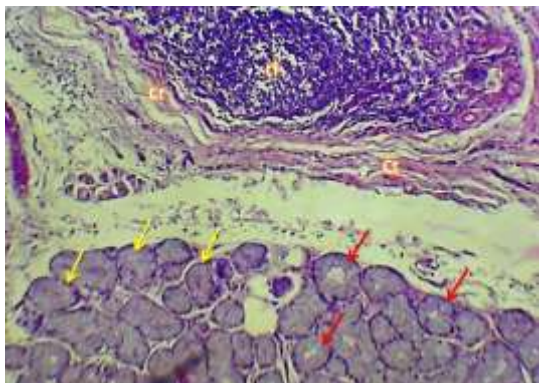
شكل (١٠) مقطع نسيجي للوزة الحنكيّة البيني في الأغنام (B1,A) وفي الماعز (A1,B) ، توضّح توزيع الألياف الغروية Cf، الجريبات المفاوية Lf، الظهارة الغير شبكيّة At، العضلات M، الاوعية الدموية BV، النسيج الدهني At ، ملون ماسون ثلاثي الصبغ . 40X .

الأوردة البطانية العالية High endothelial veins ظهرت في المناطق المجاورة للجريب وضمن الظهارات بنوعيها ، بطنت هذه الأوردة بخلايا بطانية مكعبة منخفضة إلى مكعبية عالية ونواتها قاعدية مركزية في معظم العينات المدروسة من لوز الأغنام والماعز، وقد لوحظت العديد من الخلايا المفاوية المهاجرة في جدار الأوردة البطانية العالية والتي تلعب دور في نقل الخلايا المفاوية من الدم إلى اللوزتين وبالتالي زيادة قدرتها المناعية (الشكل ١١). وهذا يتفق مع مذكرة (Zidan 2009, and Pabst 2009) في دراستهم لللوز الحنكيّة في الجمل وحيد السنام ومع (Ruskell, 1995) في دراسته للأعضاء المفاوية في القرود .



شكل (١١) صورة نسيجية للوزة الحنكية اليسرى في الأغنام (C, B, A) المقطع يشير الى تواجد الاوردة البطانية العالية (السهم الاصفر) ضمن الظهارة الشبكية , Re المقطع B يشير الى تواجدتها في الظهارة الغير الشبكية E, المقطع C يشير الى تواجدها ضمن النسيج الملفاوي Lt ، الخلايا الملفاوية الظهارية (السهم الأسود) ، الخلايا الملفاوية تحت الظهار (السهم البرتقالي) ، هيماتوكسيلين وايوسين ، 400X (C) , 100X (A&B)

لوحظت الغدد الافرازية في الجزء الأعمق من اللوزة الحنكية في الأغنام والماعز المحلي البالغ ، حيث وحداتها الافرازية المخاطية Mucous secretory units والمصلية Serous secretory units التي اعطت مظهرا مفرغا بسبب زوال المادة المخاطية أثناء التمريرات النسيجية (الشكل ١٢) اما القنوات الغدية فظهرت مبطنة بصف او صفين من الخلايا المكعبية تتجه نحو سطح الظهارة المطبقية الحرشفية وهذا يتفق مع ملاحظات Casteleyn *et al.*, 2007 في الأغنام .

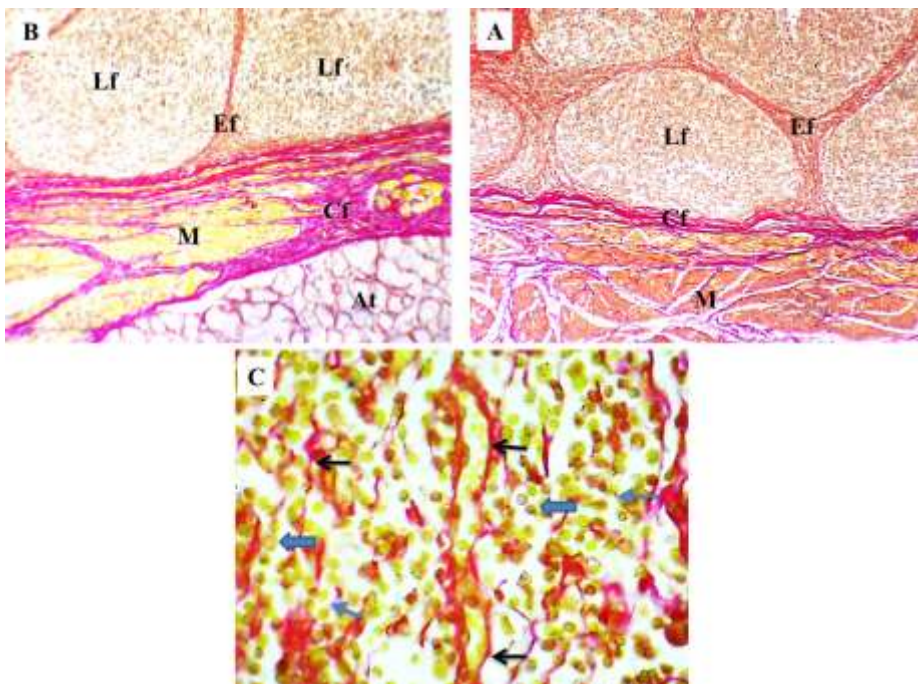


شكل (١٢) صورة نسيجية للوزة الحنكية اليمنى في الماعز، توضح الوحدات الإفرازية المصلية (السهم الأصفر ) ، الوحدات الإفرازية المخاطية (السهم الأحمر)، النسيج الصمام Ct ، والجريب اللمفاوي Lf هيماتوكسيلين وايوسين ، 100X

بيّنت نتائج الجزء الأعمق من الصفحة البابية تحت المخاطية بالإضافة إلى الغدد المصلية والمخاطية وجود حزم من العضلات الهيكليّة، وحزم ومن الأعصاب والأنسجة الدهنية (الشكل ١٠). اتفقت هذه الملاحظات مع النتائج التي توصل (Kumar and Timoney, 2005b) في دراسته للوز في الحصان و (Kumar and Kumar, 2005) في الماعز ولوحظ أيضًا وجود الأنسجة الدهنية Adipose tissue في الجزء الأعمق بين حزم العضلات ومجاميع الأنسجة الغدية (الشكل ١٠). كما تم تسجيل ملاحظات مماثلة في الأغنام من قبل (Raju et al., 2012 ; Casteleyn et al., 2007)

تم العثور على الأوعية الدموية والأوعية اللمفاوية في المناطق الخالية و تم التعرّف عليها بسهولة من خلال الجدار الرقيق والمحتوى حيث الأولى وجدت كريات الدم الحمراء فيها بينما الأوعية اللمفاوية وجدت الصمامات فيها مع الخلايا اللمفاوية (شكل ١٠) وهذا يتفق مع دراسة اللوزة الحنكية في الأغنام من قبل (Raju et al., 2012).

باستخدام ملون فان كيزون لصبغ المقاطع النسيجية للوز الحنكية في الأغنام والماعز المحلي تركّز الألياف المرنة و شكلت طبقة متواصلة أسفل الظهارة مباشرة و حول الجريبات اللمفاوية وبين الوحدات الإفرازية للغدد وفي الغلافة الداخلية للأوعية الدموية و حول العضلات (شكل ١٣) كما لاحظ ذلك في لوز الأغنام (Kumar and Singh, 2014) في جزءها السفلي و حول الأنسجة العضلية و الغدية، زاد تركيز الألياف المرنة بشكل كبير وتم توجيهها في أنماط مختلفة .



شكل (١٣) صورة نسيجية لللوزة الحنكية اليمنى في الاغنام(A&C) واليمنى في الماعز (C) ، (A&B) توضح الاياف المطاطية Ef ، الاياف الغروية Cf ، الجريب المفاوي Lf ، العضلات M ، النسيج الدهني At، بينما في المقطع (C) يبين الاياف الغروية ( السهم الاسود) ، الاياف المطاطية ( السهم الأزرق ) ، الخلايا المفاوية (السهم الممتد الأزرق) ، ملون فان كيزون 40X(A&B) ، 400X(C)

## المصادر References

- Achaaban MR, Mouloud M, Tligui NS and El Allali K. Main (2016) anatomical and histological features of the tonsils in the camel (*Camelus dromedarius*). *Trop Anim Health Prod*;48: 1653-59.
- Arambula, A., Brown, J.R., Neff, L. (2021). Anatomy and physiology of the palatine tonsils, adenoids, and lingual tonsils. *World J. Otorhinolaryngol. Head. Neck Surg.* 7 (3), 155–160. <https://doi.org/10.1016/j.wjorl.2021.04.003>.
- Al-Hashemi, Wafaa Hadi Mousa, (2019). Comparative histological study of the major Salivary Glands in Domestic male rabbits. Ph.D. dissertation submitted to College of Science-Department of Biology- University of Kufa.
- Al-Kass J.E. Al-Jalili, 7.F. and Azz, D. (1993). Pinciple of sheep and goat production and its reared. National Library. University of Baghdad.
- Bancroft JD and Gamble M. (2008).Theory and practice of histological techniques .6thed. Churchill Livingston Edinburgh: London and New York.
- Belz, G.T. and Heath, T.J. (1995). Intercellular and lymphatic pathways of the canine palatine tonsils. *J. Anat.* **187**: 93-105.
- Besoluk, K., Eken, E., & Bahar, S. (2006). The branches of the descending palatine artery and their relation to the vomeronasal organ in Angoragoats. *Veterinární Medicína*, 51(2), 55–59. <https://doi.org/10.17221/5518-vetmed>.
- Breugelmans, S., De Spiegelaere, W., Casteleyn, C., Simoens, P., Van den Broeck, W. (2011). Differences between the ovine tonsils based on an immunohistochemical quantification of the lymphocyte subpopulations. *Comparative Immunology and Microbiology of Infectious Diseases* **34**: 217-225.

- Casteleyn, C., Breugelmans, S., Muylle, S., Van den Broeck, W., Simoens, P. (2007). Consumption of beef tongue and sweetbread: risk for public health? *Vlaams Diergeneeskundig Tijdschrift* 76, 130–137.
- Casteleyn C, Breugelmans S, Simoens P, Van den Broeck W. (2011) .The tonsils revisited: review of the anatomical localization and histological characteristics of the tonsils of domestic and laboratory animals. *Clin Dev Immunol.*;2011:472460. doi:10.1155/2011/472460. Epub 2011 Aug 21. PMID: 21869895; PMCID: PMC3159307.
- Casteleyn, C., Cornelissen, M., Simoens, P., & Van den Broeck, W. (2010). Ultramicroscopic examination of the ovine tonsillar epithelia. *The Anatomical Record*, 293, 879–889.
- Cocquyt, G., Baten, T., Simoens, P., Van Den Broeck, W. (2005). Anatomical localisation and histology of the ovine tonsils. *Vet Immunol Immunopathol.* 107, 79–86.
- Culling , C. F. A. ; Allison , R. T.and ; Barr , W. T. (1985) . Cellular pathology technique 4th ed. Butterworth., pp:16,167,214,215,216.
- Dellmann, H. D. & Eurell, J. A. (1998) *Textbook of Veterinary Histology*. 5<sup>th</sup> Ed. Baltimore, Williams and Wilkins Co. pp.137-91.
- Dono, M.; Burgio, V.L.; Tacchetti, C.; Favre, A.; Augliera, A.; Zupo, S.; Taborelli, G.; Chiorazzi, N.; Grossi, C.E.; Ferrarini, M. Subepithelial (1996) B cells in the human palatine tonsil. I. Morphologic, cytochemical and phenotypic characterization. *Eur. J. Immunol.*, 26, 2035–2042. [CrossRef]
- Fossum CC, Chintakuntlawar AV, Price DL, Garcia JJ. (2017) Characterization of the oropharynx: anatomy, histology, immunology, squamous cell carcinoma and surgical resection Histopathology. 70:1021e1029.

- Graeme-Cook, F.; Bhan, A.K.; Harris, N.L. (1993). Immunohistochemical characterization of intraepithelial and subepithelial mononuclear cells of the upper airways. *Am. J. Pathol.*, 143, 1416–1422.
- Indu, V.R, K.M.Lucy, N.Ashok, S.Maya and P.M. (2018). Priya.Histology and Immunohistochemistry of the palatine tonsil in goats. *Indian J.Anim.Res.* 52(4):508-512; 2018.
- Kumar P, Kumar P. (2005). Light and scanning , transmission electron microscopic studies on lingual tonsil of goat. *Haryana Vet*; 44: 13-6.
- Kumar, P., Kumar, Pawan and Kumar, Suraj. (2006). Light and scanning electron microscopic studies on the palatine tonsil of the goat. *Indian J Anim. Sci.* 76:1004-1006.
- Kumar, Pawan, Mahesh R., Singh, G. and Nagpal, S.K. (2008). Light microscopic studies on the palatine tonsil of sheep.*Haryana Veterinarian* 47: 15-18.
- Kumar, P. and Singh, G. (2014). Histology and histochemistry of tonsil of soft palate of the sheep. *Indian Journal of Veterinary Anatomy* 26(1): 36-39.
- Kumar P, Timoney JF (2005a). Histology and ultrastructure of the equine lingual tonsil. I. Crypt epithelium and associated structures. *Anat Histol Embryol* 34:27–33
- Kumar P, Timoney JF (2005b). Histology and ultrastructure of the equine lingual tonsil. II. Lymphoid tissue and associated high endothelial venules. *Anat Histol Embryol* 34:98–104.
- Kumar, Pawan and Timoney J.F. (2006). Histology, immunohistochemistry and ultrastructure of the tonsil of the soft palate of the horse. *Anatomia Histologia Embryologia* 35: 1-6.
- Luna, L.G. (1968). Manual of Histologic Staining Methods of the Armed Forces Institute of Pathology. (3'd edn.),McGraw-Hill Book Co., New York.

- Mahdy MAA, Mohamed SA, Abdalla KEH. (2023). Morphology of the soft palate and palatine tonsil of the goat (*Capra hyricus*). *Microsc Res Tech.* Sep;86(9):1091-1098. doi: 10.1002/jemt.24346. Epub 2023 May 16. PMID: 37191111.
- Palmer MV, Thacker TC, Waters WR. (2009). Histology, immunohistochemistry and ultrastructure of the bovine palatine tonsil with special emphasis on reticular epithelium. *Vet Immunol Immunopathol* 127:277–285.
- Perry M, Whyte A (1998). Immunology of the tonsils. *Immunol Today* 19:414–421.
30. Petrie, A., & Watson, P. (2013). hypothesis tests th F-test . In Statistics for Veterinary and Animal Science 3E (3rd ed.). Wiley-Blackwell.USA. pp105-111.
- Raju, N.K.B, Geetha, R, Sabiba, H.B and Usha Kumary, S.(2012). Histochemical studies on the palatine tonsil of sheep (*Ovis aries*). *IJA VMS*.6:392-397.
- Ruskell, G.L. (1995). Organization and cytology of lymphoid tissue in the cynomolgus monkey conjunctiva. *Anatomical Record*, 243: 153-164.
- Suvarna, S. K., Layton, C., & Bancroft, J. D. (2019). Bancroft's Theory and Practice of Histological Techniques. Elsevier Books. <https://doi.org/10.1016/c2015-0-00143-5>.
- Tenorio, E.M.L. and Pabst, R. (2006). MALT structure and function in farm animals. *Vet. Res.* 37:257–280.
- Timoney, J. F., & Kumar, P. (2008). Early pathogenesis of equine *Streptococcus equi* infection (strangles). *Equine Veterinary Journal*,40(7), 637–642.
- Velinova, M., Thielen, C., Mélot, F., Eicher, S., Heinen, E., Antoine, N. and Donga, J.(2001).New histochemical and ultrastructural observations on normal palatine tonsils. *Vet. Rec.* 149: 61.

- Yang C, Yuan G, Xu Z, Shoa B, Wang J. (2011). The topography and the microscopic structure of tonsils in the adult Bactrian camel (*Camelus bactrianus*). *J Camel Pract Res*; 18(2):155-63.
- Zautner, A.E. (2012). Adenotonsilar disease. In Recent Patents on Inflammation & Allergy Drug Discovery; Bentham Science: Sharjah, United Arab Emirates, Volume 6, pp. 121–129. [CrossRef]
- Zidan, M., & Pabst, R. (2011). The microanatomy of the palatine tonsils of the buffalo (*Bos bubalus*). *Veterinary Immunology and Immunopathology*, 139, 83–89.  
<https://doi.org/10.1016/j.vetimm.2010.08.006>.
- Zidan M, Pabst R. (2009).The microanatomy of the palatine tonsils of the one-humped camel (*Camelus dromedarius*). *Anat Rec (Hoboken)*. Aug;292(8):1192-7  
<https://doi.org/10.1002/ar.20948>. PMID: 19645021.